

УДК 533.6.011

© 1993 г. О. М. КИСЕЛЕВ, Ш. Э. МУХАМЕТРАХИМОВ

## ТРАНСЗВУКОВОЕ ИСТЕЧЕНИЕ НЕСОВЕРШЕННОГО ГАЗА ИЗ СОСУДА С ПЛОСКИМИ СТЕНКАМИ

Трансзвуковые изэнтропические течения несовершенного газа<sup>1</sup> исследовались в одномерной постановке в работах [2—5]. В [6] исследовалась в двумерной постановке задача о трансзвуковом истечении струи термически совершенного газа с равновесно возбужденными колебательными степенями свободы молекул (газ калорически несовершенный). Ниже рассматривается задача о трансзвуковом истечении из сосуда с плоскими стенками реального (термически и калорически несовершенного) газа. Предлагается метод решения. Приводятся результаты расчета, характеризующие влияние угла между стенками и параметров торможения на трансзвуковое истечение воздуха.

Рассматривается плоское стационарное изэнтропическое истечение невязкого, нетеплопроводного газа из бесконечного симметричного сосуда с прямолинейными стенками, образующими между собой угол  $2\theta_0$ . В бесконечно удаленной точке, где газ покоится, его состояние характеризуется температурой  $T_0$  и давлением  $p_0$ . Давление окружающей среды  $p_a$  таково, что реализуется трансзвуковое истечение с максимальным расходом (выполняется условие  $\varepsilon_a \leq \varepsilon^{**}$ , где  $\varepsilon = p_a/p_0$ ,  $\varepsilon^{**}$  — второе критическое отношение давлений, значение которого зависит от состава газа и параметров  $T_0$ ,  $p_0$ ,  $\theta_0$ ).

В верхней половине физической плоскости  $x$ ,  $y$  имеется область независимого трансзвукового течения, ограниченная стенкой сосуда  $A_1B$ , участком  $AC$  оси симметрии  $x$  и предельной характеристикой  $BC$  (фиг. 1,  $a$ ; штриховая кривая  $BC$  — звуковая линия,  $BD$  — свободная поверхность). Соответствующая область в плоскости  $\lambda$ ,  $\theta$  ( $\lambda$  — приведенная скорость,  $\theta$  — угол наклона скорости к оси  $x$ ) показана на фиг. 1,  $b$  (отрезку характеристики  $BB_1$  в физической плоскости отвечает кромка сосуда  $B$ ).

Термическое уравнение состояния газа будем считать заданным в виде

$$p = \rho_c T_c R \omega \tau \left( 1 + \sum_{i=1} \sum_{k=0} b_k \frac{\omega^i}{\tau^k} \right), \quad \omega = \frac{p}{\rho_c}, \quad \tau = \frac{T}{T_c} \quad (1)$$

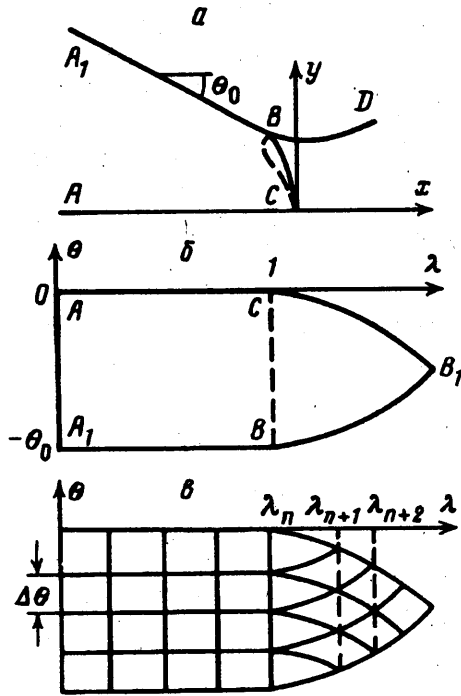
Здесь  $p$ ,  $\rho$ ,  $T$  — давление, плотность и температура газа,  $R$  — газовая постоянная,  $\rho_c$ ,  $T_c$  — значения  $\rho$  и  $T$  в критической точке диаграммы фазовых переходов,  $b_k$  — некоторые постоянные.

Будем также считать известными коэффициенты  $\alpha_k$ ,  $\beta_k$  в выражении

$$c_p^\circ = R \left( \sum_{k=0} \alpha_k \tau^k + \sum_{k=1} \beta_k \tau^{-k} \right) \quad (2)$$

где  $c_p^\circ$  — изобарная теплоемкость в идеально газовом состоянии. (Для целого ряда технически важных газов коэффициенты  $b_k$ ,  $\alpha_k$ ,  $\beta_k$ , найденные на основе математической обработки экспериментальных данных, приводятся в серии мо-

<sup>1</sup> Следуя [1], будем называть газ совершенным, если для него верно уравнение Клапейрона и удельные изохорная и изобарная теплоемкости постоянны; будем называть газ термически или калорически совершенным, если для него выполняется первое или второе из названных выше условий.



Фиг. 1

нографий, выпущенных Государственной службой стандартных справочных данных. В частности, для воздуха выражения (1), (2) из [7] содержат 50 коэффициентов  $b_{ik}$  и 13 пар коэффициентов  $\alpha_k, \beta_k$ .)

Из соотношений (1), (2) с использованием известных дифференциальных уравнений термодинамики находят (см. [7]) выражения для энтальпии  $h$ , энтропии  $s$ , скорости звука  $a$  вида

$$h = h(\omega, \tau), \quad s = s(\omega, \tau), \quad a = a(\omega, \tau) \quad (3)$$

Чтобы найти зависимость между газодинамическими параметрами в изэнтропическом течении газа при заданных параметрах торможения  $p_0, T_0$ , поступим следующим образом. Положив в (1)  $p = p_0, \tau = \tau_0 = T_0/T_c$ , найдем из полученного выражения значение  $\omega = \omega_0 = \rho_0/\rho_c$  ( $\rho_0$  — плотность заторможенного газа). Вычислим  $h_0 = h(\omega_0, \tau_0)$  и  $s_0 = s(\omega_0, \tau_0)$ . Зададимся рядом значений  $\tau = \tau_j = T_j/T_c$ , где  $T_j = jT_0/N, j = 1, 2, \dots, N-1, N$  — достаточно большое целое число. Из условия изэнтропичности  $s(\omega, \tau) = s_0$  для каждого  $\tau_j$  найдем соответствующее значение  $\omega = \omega_j = \rho_j/\rho_c$ . С помощью соотношений (1), (3) вычислим значения  $p_j = p(\omega_j, \tau_j), V_j = \sqrt{2(h_0 - h(\omega_j, \tau_j))}, a_j = a(\omega_j, \tau_j)$  ( $V_j$  — значения модуля скорости  $V$ ). В результате получим таблицу (назовем ее таблицей А) соответственных значений газодинамических параметров  $T, p, \rho, V, a$ .

С помощью интерполяции таблицы А из условия  $V = a = a_*$  найдем критическую скорость  $a_*$  и отвечающие ей значения  $T = T_*, p = p_*, \rho = \rho_*$ . Построим таблицу Б соответственных значений приведенной скорости  $\lambda = V/a_*$  и числа Маха  $M = V/a$ . Для аналитического выражения зависимости одного газодинамического параметра от другого будем использовать интерполяционные кубические сплайны, построенные на основе таблиц А и Б.

Рассматриваемое течение является баротропным и потенциальным (см. [8, гл. 6]), поэтому, введя функцию тока  $\psi$  с помощью соотношения

$$d\psi = -\rho V \sin \theta dx + \rho V \cos \theta dy$$

можно воспользоваться известными приемами (см. [9, § 62]) и получить для  $\psi$  дифференциальное уравнение

$$V \frac{d}{dV} \left( \frac{1}{\rho V} \right) \frac{\partial^2 \psi}{\partial \theta^2} = \frac{\partial}{\partial V} \left( \frac{V}{\rho} \frac{\partial \psi}{\partial V} \right) \quad (4)$$

С помощью уравнения Эйлера  $\rho V dV + dp = 0$  и соотношения  $dp/d\rho = a^2$  преобразуем (4) к виду

$$(1 - M^2) \frac{\partial^2 \psi}{\partial \theta^2} + \lambda^2 \frac{\partial^2 \psi}{\partial \lambda^2} + \lambda (1 + M^2) \frac{\partial \psi}{\partial \lambda} = 0 \quad (5)$$

Характеристики уравнения (5) имеют вид

$$\theta = \pm \int_1^\lambda \sqrt{M^2 - 1} \frac{d\lambda}{\lambda} + \text{const} \quad (6)$$

Для совершенного газа зависимость  $M(\lambda)$  хорошо известна, интеграл (6) выражается через элементарные функции, а уравнение (5) эквивалентно уравнению Чаплыгина. Для несовершенного газа функция  $M(\lambda)$  может быть определена способом, описанным выше (в этом случае функция  $M(\lambda)$  для выбранного газа зависит от параметров торможения  $\rho_0, T_0$ ).

Краевые условия для  $\psi$  в плоскости  $\lambda, \theta$  имеют вид

$$AC: \psi = 0, \quad AA_1: \psi = -\frac{1}{2} Q \frac{\theta}{\theta_0}, \quad A_1BB_1: \psi = \frac{1}{2} Q \quad (7)$$

где  $Q$  — расход газа через горловину сосуда в слое единичной толщины. Таким образом, для  $\psi$  имеет место задача Трикоми (5), (7).

Для численного решения задачи Трикоми применяется конечно-разностный метод, предложенный в [10]. В области  $\lambda \leq 1$  используется прямоугольная сетка с постоянными шагами по  $\lambda$  и  $\theta$ , при  $\lambda > 1$  за узлы сетки принимаются точки пересечения характеристик, исходящих из узлов на прямой  $\lambda = 1$ . Для определения значений  $\lambda$  в узловых точках области  $\lambda > 1$  ( $\lambda = \lambda_{n+1}, \lambda_{n+2}, \dots$ ) используются условия

$$\frac{1}{2} \Delta\theta = \int_1^{\lambda_{n+1}} \sqrt{M^2 - 1} \frac{d\lambda}{\lambda} = \int_{\lambda_{n+1}}^{\lambda_{n+2}} \sqrt{M^2 - 1} \frac{d\lambda}{\lambda} = \dots$$

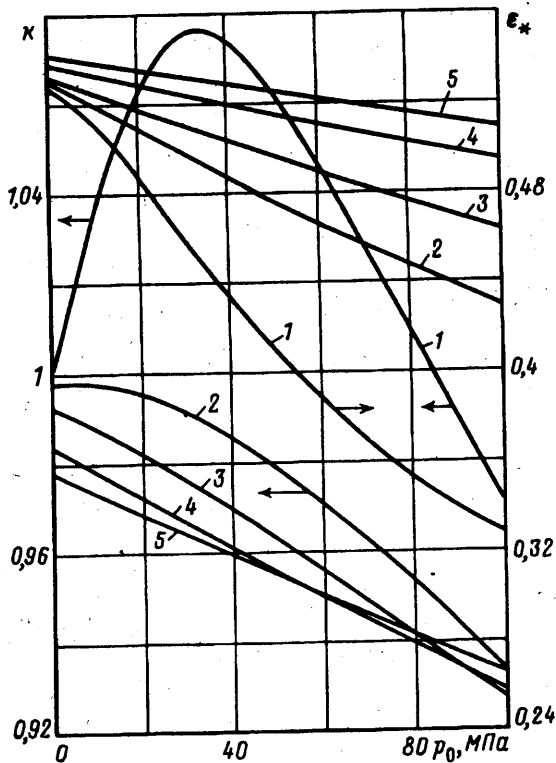
где  $\Delta\theta$  — шаг по  $\theta$  (см. фиг. 1, в).

Система алгебраических уравнений, получающаяся в результате конечно-разностной аппроксимации задачи (5), (7), решается с применением метода последовательной верхней релаксации.

Переход из плоскости годографа в физическую плоскость осуществляется по формулам, имеющим тот же вид, что и для совершенного газа. В частности, имеет место равенство

$$\frac{dy}{d\theta} = \frac{1}{\rho a_*} \left( \frac{\partial \psi}{\partial \lambda} \sin \theta + \frac{1}{\lambda} \frac{\partial \psi}{\partial \theta} \cos \theta \right) \quad (8)$$

Основной интегральной характеристикой течения является коэффициент рас-



Фиг. 2

хода, который можно определить по формуле  $\sigma = Q(2\rho_* a_* L)^{-1}$ , где  $L$  — ордината кромки сосуда  $B$ . С учетом (8)

$$L = \frac{1}{\rho_* a_*} I, \quad \sigma = \frac{1}{2} \frac{Q}{I}, \quad I = \int_0^{-\theta_0} \left( \frac{\partial \psi}{\partial \lambda} \sin \theta + \frac{1}{\lambda} \frac{\partial \psi}{\partial \theta} \cos \theta \right)_{\lambda=1} d\theta$$

Пусть  $\psi^\circ(\lambda, \theta)$  — решение задачи (5), (7), полученное при условии  $1/2 Q = 1$ . Тогда

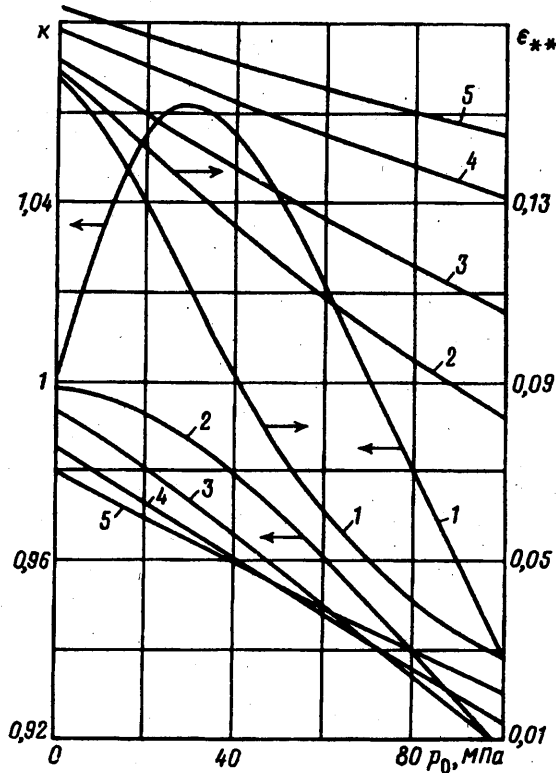
$$\sigma = \frac{1}{I^\circ}, \quad I^\circ = \int_0^{-\theta_0} \left( \frac{\partial \psi^\circ}{\partial \lambda} \sin \theta + \frac{1}{\lambda} \frac{\partial \psi^\circ}{\partial \theta} \cos \theta \right)_{\lambda=1} d\theta$$

Введенное определение коэффициента расхода не является единственно возможным. Очевидно, более удобно определение

$$\mu = Q(2\rho_*^\circ a_*^\circ L)^{-1} = \sigma q_*, \quad q_* = \frac{\rho_* a_*}{\rho_*^\circ a_*^\circ}$$

$$a_*^\circ = \sqrt{\frac{2\gamma}{\gamma+1} RT_0}, \quad \rho_*^\circ = \frac{p_0}{RT_0} \left( \frac{2}{\gamma+1} \right)^{1/(\gamma-1)}$$

Источник	$\theta_0^\circ = 15$	30	45	60	75	90	105	120
Данная работа [6]	0,9759	0,9471	0,9195	0,8941	0,8712	0,8508	0,8327	0,8170
	0,9753	0,9468	0,9193	0,8939	0,8710	0,8505	—	—
[11, 12]	—	0,9472	—	0,8937	—	0,8497	—	0,8153



Фиг. 3

Здесь  $\rho_*^\circ$ ,  $a_*^\circ$  — критические плотность и скорость совершенного газа того же состава, что и рассматриваемый несовершенный (с той же газовой постоянной  $R$  и с показателем адиабаты  $\gamma$ , определяемым по формулам

$$\gamma = \frac{\beta}{\beta - 1}, \quad \beta = 2,5 + \xi_l + 1,5\xi_n \quad (9)$$

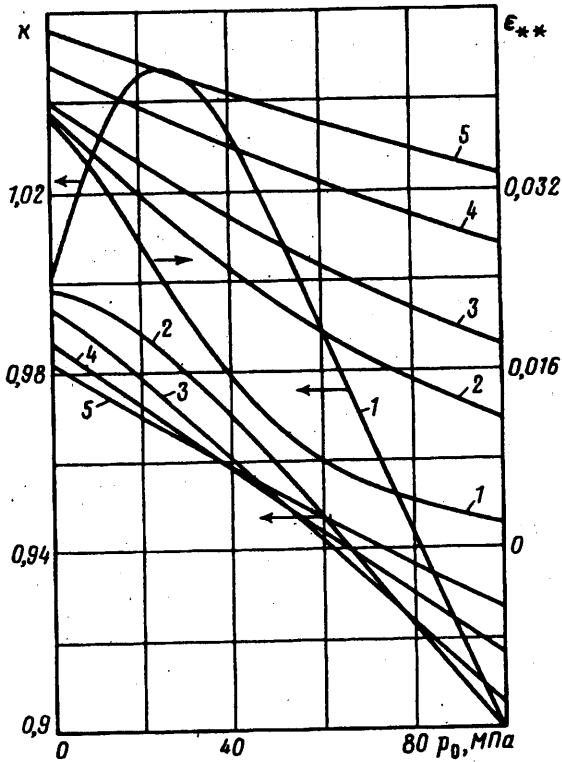
где  $\xi_l$ ,  $\xi_n$  — молярные доли компонентов, состоящих из линейных и нелинейных молекул).

Наряду с коэффициентом расхода  $\mu$  введем в рассмотрение коэффициент  $k = \mu/\mu^\circ$ , где  $\mu^\circ = \mu^\circ(\theta_0)$  — коэффициент расхода, вычисленный для соответствующего совершенного газа (представление  $\mu = k\mu^\circ$  будет полезным, если окажется, что при каких-то условиях  $k$  зависит только от  $p_0$ ,  $T_0$ , но не зависит от  $\theta_0$ ).

Для ряда значений  $\theta_0$  была решена задача Трикоми и найден коэффициент расхода  $\mu^\circ$  совершенного газа, соответствующего воздуху ( $\gamma = 1,4$ ). Результаты, полученные на сетке с 5600 ячейками в области  $\lambda \leq 1$  (81 узел на отрезке  $\lambda = 1$ ,  $-\theta_0 \leq \theta \leq 0$ ), и значения  $\mu^\circ$  из [6, 11, 12] приведены в таблице (согласование результатов достаточно хорошее).

С использованием данных [7] рассчитано трансзвуковое истечение воздуха в диапазоне изменения  $p_0$  от 0,1 до 100 МПа и  $T_0$  от 300 до 1500 К (применялась сетка с тем же количеством узлов, которое указано выше, при построении таблиц А, Б полагалось  $N = 200$ ). Результаты вычислений представлены на фиг. 2—5 (кривые 1—5 отвечают значениям  $T_0 = 300, 500, 700, 1100, 1500$  К).

На фиг. 2 показаны зависимости от  $p_0$  и  $T_0$  безразмерного критического давления  $\varepsilon_* = \rho_*/\rho_0$  и коэффициента  $k$  при  $\theta_0 \rightarrow 0$  (в этом случае течение



Фиг. 4

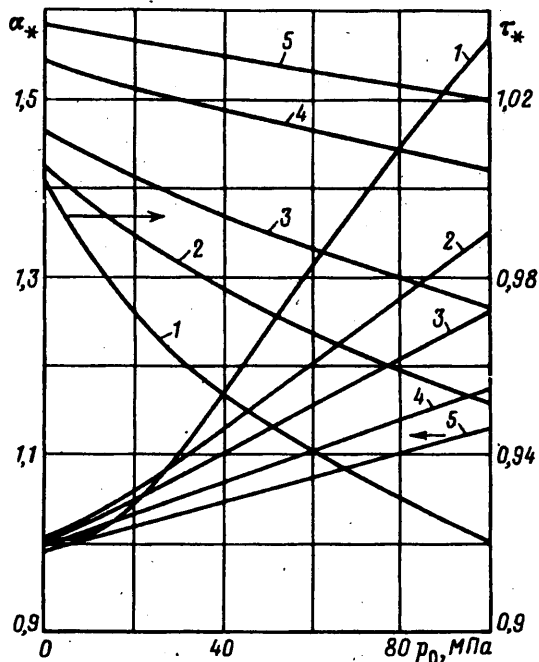
одномерное,  $\mu^\circ = 1$ ,  $\mu = k = q_*$ ). На фиг. 3 и 4 показаны зависимости  $k$  и  $\epsilon_{**} = p_{**}/p_0$  при  $\theta_0 = 45^\circ$  ( $\mu^\circ = 0,9195$ ) и  $90^\circ$  ( $\mu^\circ = 0,8508$ ) соответственно ( $p_{**}$  — давление в точке  $B_1$ ,  $\epsilon_{**}$  — второе критическое отношение давлений). На фиг. 5 показаны зависимости безразмерной критической скорости  $\alpha_* = a_*/a_*^\circ$  и безразмерной критической температуры  $\tau_* = T_*/T_*^\circ$  ( $T_*^\circ = 2/(\gamma + 1) T_0$ ) от  $p_0$  и  $T_0$ .

Как показывает анализ полученных результатов, отношения  $a_*/a_*^\circ$ ,  $\rho_*/\rho_*^\circ$ ,  $T_*/T_*^\circ$ ,  $p_*/p_*^\circ$  ( $p_*^\circ = p_0 (2/(\gamma + 1))^{\gamma/(\gamma-1)}$ ) близки к единице только при малых  $p_0$  и  $T_0$  и, вообще говоря, сильно зависят от параметров торможения. Зависимость эта такова, что при достаточно больших значениях  $T_0$  или  $p_0$  частные производные от указанных безразмерных параметров по  $p_0$  убывают по абсолютной величине с ростом  $T_0$ .

Параметр  $\epsilon_{**}$  ( $\epsilon_{**} \rightarrow \epsilon_*$  при  $\theta_0 \rightarrow 0$ ) при фиксированном  $\theta_0$  сильно зависит от  $p_0$ ,  $T_0$ . В исследованном диапазоне параметров  $\max \epsilon_{**}$  реализуется при  $T_0 = \max T_0$ ,  $p_0 = \min p_0$ , а  $\min \epsilon_{**}$  — при  $T_0 = \min T_0$ ,  $p_0 = \max p_0$ . Отношение  $\max \epsilon_{**}/\min \epsilon_{**}$  быстро растет с ростом  $\theta_0$  и составляет 1,653, 6,191, 19,65 для  $\theta_0 = 0,45, 90^\circ$  соответственно.

Коэффициент  $k$ , характеризующий расход газа, в меньшей степени зависит от  $\theta_0$ , чем  $\mu = k\mu^\circ$ . Наибольшие различия между значениями  $k$  при различных значениях  $\theta_0$  проявляются при  $p_0 = \max p_0$ . Так,  $k(\theta_0 = 0)/k(\theta_0 = 90^\circ) = 1,080, 1,038, 1,024, 1,013, 1,006$  при  $p_0 = 100$  МПа и  $T_0 = 300, 500, 700, 1100, 1500$  К соответственно. Таким образом, зависимость  $k$  от  $\theta_0$  ослабевает с ростом  $T_0$ , при достаточно больших  $T_0$  коэффициент расхода  $\mu$  можно определять по приближенной формуле  $\mu = q_*\mu^\circ$ .

Зависимость  $k$  от  $p_0$  и  $T_0$  достаточно сложная. При  $T_0 = 300$  К  $k$  сначала



Фиг. 5

растет с увеличением  $p_0$ , затем убывает (для  $\theta_0 \rightarrow 0$   $\max k \approx 1,076$  при  $p_0 \approx 0,33$  МПа). С увеличением  $T_0$  при фиксированном  $\theta_0$  максимум функции  $k(p_0)$  убывает и смещается влево; при  $T_0 \geq 700$  К максимум  $k$  приходится на  $p_0 = 0$ , а функция  $k(p_0)$  является монотонно убывающей.

Результаты вычисления параметров  $\epsilon_*$  и  $q_*$  ( $q_* = k$  при  $\theta_0 \rightarrow 0$ ) хорошо согласуются с результатами [4], полученными для  $T_0 = 300$  К,  $p_0 \leq 70$  МПа. Значения  $\mu$ , полученные в [6] для газовой смеси, состоящей на 80% из молекул  $N_2$  и на 20% из молекул  $O_2$  с равновесно возбужденными колебательными степенями свободы, весьма близки к полученным в настоящей работе при  $p_0 = 0,1$  МПа для всех значений  $\theta_0$  и  $T_0$  (термически совершенный газ с равновесно возбужденными колебательными степенями свободы молекул является хорошей моделью реального газа при малых  $p_0$  и не слишком больших  $T_0$ ).

Утверждение авторов [4] о том, что с увеличением  $T_0$  состояние газа (воздуха) приближается к состоянию совершенного газа (с показателем адиабаты  $\gamma = 1,4$ ), сделанное на основе анализа результатов расчета для  $T_0 = 220-450$  К, вообще говоря, неправомерно. Из приведенных данных видно, в частности, что  $k$  отнюдь не стремится к единице с ростом  $T_0$ .

С ростом  $\theta_0$  при фиксированных  $p_0$ ,  $T_0$  значения  $\lambda$ ,  $M$  в точке  $B_1$  увеличиваются, а  $T$  и  $p$  падают. При достаточно больших  $\theta_0$ ,  $p_0$  и достаточно малом  $T_0$  в окрестности точки  $B_1$  создаются условия, при которых происходит переход газа в твердую фазу (для воздуха при давлении ниже атмосферного температуры начала и конца затвердевания близки к 60 и 56 К соответственно, при возрастании  $p_0$  до 100 МПа эти значения увеличиваются не более чем на 20 К [7]). При этом результаты расчета по изложенной методике теряют смысл, поскольку уравнение состояния (1) не пригодно для описания твердой фазы.

Так, рассматривая истечение воздуха при  $\theta_0 = 105^\circ$ ,  $p_0 = 100$  МПа,  $T_0 = 300$  К, в точке  $B_1$  получим  $T = 58,8$  К,  $p_0 = 0,0949$  МПа (условия, соответствующие началу затвердевания). При  $\theta_0 = 120^\circ$ ,  $T_0 = 300$  К условия затвердевания воздуха

в окрестности точки  $B_1$  реализуются при  $p_0 \geq 41$  МПа, в то же время при  $\theta_0 = 120^\circ$ ,  $T_0 \geq 500$  К,  $p_0 \leq 100$  МПа условий появления твердой фазы не возникает.

Следует также иметь в виду, что при превышении  $\theta_0$  некоторого критического значения начинается взаимодействие струи с внешней поверхностью стенки сосуда, что приводит к изменению схемы течения [12]. Как показано в [12], для совершенного газа с показателем адиабаты  $\gamma = 1,4$  критическим является значение  $\theta_0 = 124,5^\circ$ .

Авторы благодарны Г. Ю. Степанову за внимание к работе.

#### СПИСОК ЛИТЕРАТУРЫ

1. Седов Л. И. Плоские задачи гидродинамики и аэродинамики. М.: Наука, 1980. 448 с.
2. Еришов Н. С., Селифанов В. С. Расчет параметров при течении реального газа (воздуха)//Изв. вузов. Авиационная техника. 1969. № 2. С. 143—148.
3. Зыков Н. А., Севастьянов Р. М. Таблицы термодинамических и газодинамических функций воздуха при высоких давлениях и температурах торможения от 600 до 3000 К//Тр. ЦАГИ. 1972. Вып. 1389. С. 3—41.
4. Давыдов Л. М., Жиравов В. М. Изэнтропические течения воздуха при высоких давлениях торможения//Изв. АН СССР. МЖГ. 1974. № 5. С. 157—161.
5. Бебьяков А. П., Левин В. Я. Некоторые особенности энергизолированного течения газа при высоких давлениях//Изв. вузов. Авиационная техника. 1984. № 1. С. 71—74.
6. Киселев О. М., Козырев О. Р. О трансзвуковом истечении струи газа из сосуда с плоскими стенками//Изв. АН СССР. МЖГ. 1987. № 6. С. 128—136.
7. Сычев В. В., Вассерман А. А., Козлов А. Д. и др. Термодинамические свойства воздуха. М.: Изд-во стандартов, 1978. 275 с.
8. Кларк Дж., Макчесни М. Динамика реальных газов. М.: Мир, 1967. 566 с.
9. Лойцянский Л. Г. Механика жидкости и газа. М.: Наука, 1973. 847 с.
10. Fenain M., Dutouquet L., Solignac J.-L. Calcul des performances d'une tuyère propulsive convergence. Comparaison avec l'expérience//Rech. Aérospace. 1974. № 5. P. 261—276.
11. Косолапов Ю. С. Численное решение задачи об истечении газа из сосуда с плоскими стенками//Изв. АН СССР. МЖГ. 1988. № 4. С. 177—181.
12. Косолапов Ю. С. Об истечении газа из плоских сосудов с большими углами наклона стенок//Изв. АН СССР. МЖГ. 1991. № 1. С. 144—151.

Казань

Поступила в редакцию  
12.VIII.1992